

Министерство науки и высшего образования Российской Федерации
федеральное государственное автономное образовательное учреждение
высшего образования
«НАЦИОНАЛЬНЫЙ ИССЛЕДОВАТЕЛЬСКИЙ УНИВЕРСИТЕТ ИТМО»

Отчет

по Лабораторной работе №11

«Синтез системы управления с помощью метода внутренней (встроенной) модели на базе уравнений Франкиса-Дэвисона»

по дисциплине «**Теория автоматического управления**»

Вариант №6

Авторы: Кулижников Е.Б.

Евстигнеев Д.М.

Факультет: СУиР

Группа: R33423

Преподаватель: Парамонов А.В.



УНИВЕРСИТЕТ ИТМО

Санкт-Петербург, 2021

Цель работы:

Освоение управления линейными объектами с помощью метода внутренней модели на базе уравнений Франкиса-Дэвисона (комбинированный регулятор, регулятор с прямыми связями).

Исходные данные:

Объект управления:

$$\begin{cases} \dot{x}(t) = Ax(t) + Bu(t) \\ y(t) = Cx(t) + Du(t) \end{cases}$$

$$A = \begin{bmatrix} -1 & 2 \\ 9 & 0 \end{bmatrix}; B = \begin{bmatrix} 1 \\ 2 \end{bmatrix}; C = [6 \quad 0]; D = -1; x(0) = \begin{bmatrix} 1 \\ 1 \end{bmatrix}$$

№	B_f	λ_1^* λ_2^*	$g(t)$	$f(t)$	$t_{\text{ин}}, \text{с}$	$\sigma_H, \%$	Наблюдатель возмущения по входу	Наблюдатель возмущения по выходу
6	$\begin{bmatrix} 2 \\ 8 \end{bmatrix}$	-10 -7	$3 \cos 4t$	$5 \sin(2t+3)$	1,1	6	редуцированный	расширенный

Ход работы:

1. Задача слежения

Объект управления:

$$\begin{cases} \dot{x}(t) = Ax(t) + Bu(t) \\ y(t) = Cx(t) + Du(t) \end{cases}$$

1.1. Проверка объекта управления на свойство полной управляемости:

$$N_y = [B : AB] = \begin{bmatrix} 1 & 3 \\ 2 & 9 \end{bmatrix}$$

$\text{rang}(N_y) = 2 \rightarrow$ выполняется условие полной управляемости

1.2. Формирование модели задающего воздействия $g(t)$ на основе метода последовательного дифференцирования в виде:

$$\begin{cases} \dot{\xi}_g = \Gamma_g \xi_g \\ g = H_g \xi_g \end{cases}, \quad \xi_g(0) = \xi_{g0}$$

$$z_1 = g(t) = 3 \cos 4t$$

$$\dot{z}_1 = z_2 = -12 \sin 4t$$

$$\dot{z}_2 = -48 \cos 4t = -16 z_1$$

$$\Gamma_g = \begin{bmatrix} 0 & 1 \\ -16 & 0 \end{bmatrix}; H_g = [1 \quad 0]; \xi_g(0) = \begin{bmatrix} z_1(0) \\ z_2(0) \end{bmatrix} = \begin{bmatrix} 3 \\ 0 \end{bmatrix}$$

1.3. Конструирование эталонной модели по желаемым корням λ_1^*, λ_2^* :

$$\begin{cases} \dot{\xi} = \Gamma \xi \\ v = H \xi \end{cases}$$

$$\lambda_1^* = -10; \lambda_2^* = -7$$

$$\Gamma = \begin{bmatrix} \lambda_1^* & 0 \\ 0 & \lambda_2^* \end{bmatrix} = \begin{bmatrix} -10 & 0 \\ 0 & -7 \end{bmatrix}; H = [1 \quad 1]$$

1.4. Нахождение матрицы M и матрицы линейных стационарных обратных связей K из уравнений:

$$\begin{cases} BH = M\Gamma - AM \\ K = -HM^{-1} \end{cases}$$

Вычисления в MatLab:

```
>> M
```

```
M =
```

```

-0.0833    -0.1250
-0.1250    -0.1250
```

```
>> K
```

```
K =
```

```

0         8
```

1.5. Вычисление матрицы M_g и матрицы прямых связей L_g на основе уравнения типа Франкиса-Дэвисона:

$$\begin{cases} BL_g = M_g \Gamma_g - (A - BK)M_g \\ H_g = (C - DK)M_g + DL_g \end{cases}$$

Вычисления в MatLab:

`Mg =`

```
0.0829    0.0101
0.2120    0.0162
```

`Lg =`

```
1.1934    0.1902
```

Найдем модель ошибок слежения:

$$\begin{cases} \dot{e}(t) = Ae(t) - Bu(t) + BL_g \xi_g(t) \\ \varepsilon(t) = Ce(t) - Du(t) + DL_g \xi_g(t) \end{cases}$$
$$= \begin{cases} \dot{e}(t) = \begin{bmatrix} -1 & 2 \\ 9 & 0 \end{bmatrix} e(t) - \begin{bmatrix} 1 \\ 2 \end{bmatrix} u(t) + \begin{bmatrix} 1.1934 & 0.1902 \\ 2.3868 & 0.3804 \end{bmatrix} \xi_g(t) \\ \varepsilon(t) = [6 \quad 0] e(t) + u(t) + [-1.1934 \quad -0.1902] \xi_g(t) \end{cases}$$

1.6. Вычисление собственных чисел матрицы замкнутой системы и сравнение их с корнями требуемого характеристического полинома.

$\lambda_1^* = -10; \lambda_2^* = -7$ – желаемые корни

Вычисления в MatLab:

```
>> F = A-B*K
```

```
F =
```

```
    -1    -6  
     9   -16
```

```
>> eig(F)
```

```
ans =
```

```
    -7  
   -10
```

1.7. Для наблюдателя состояния сигнала построим матрицу \bar{G} , на основе требуемых показателей качества $t_{\text{пн}} = 1.1$ и $\sigma_H = 6\%$

Желаемое перерегулирование не нулевое, поэтому воспользуемся полиномом Батерворта второго порядка:

$$a(s) = s^2 + 1.414\omega s + \omega^2, \text{ где } \omega = \frac{t_{\text{пн}}^*}{t_{\text{пн}}} = \frac{2.9}{1.1} = 2.64$$

$$a(s) = s^2 + 3.73s + 6.97$$

$$\bar{G} = \begin{bmatrix} 0 & -a_0 \\ 1 & -a_1 \end{bmatrix} = \begin{bmatrix} 0 & -6.97 \\ 1 & -3.73 \end{bmatrix}$$

1.8. При синтезе наблюдателя состояния сигнала задания решается матричное уравнение типа Сильвестра:

$$\bar{M}_g \Gamma_g - \bar{G} M_g = \bar{L} H_g$$

Где \bar{L} матрица входа модели, которая определяется из условия полной управляемости пары (\bar{G}, \bar{L})

$$\bar{L} = \begin{bmatrix} 0 \\ 1 \end{bmatrix} \rightarrow N_y = [\bar{L} : \bar{G}\bar{L}] = \begin{bmatrix} 0 & -6.97 \\ 1 & -3.73 \end{bmatrix}$$

$\text{rang}(N_y) = 2 \rightarrow$ пара (\bar{G}, \bar{L}) полностью управляема

Вычисления в MatLab:

```
>> M_sh = sylvester(-G_sh, Gg, L_sh*Hg)
```

```
M_sh =
```

```
    0.2069    0.0855  
    0.1962   -0.0297
```

1.9. Вычисление корней характеристического полинома матрицы \tilde{G} и сравнение их с корнями требуемого характеристического полинома

Все вычисления произведем в MatLab:

```
>> eig(G_sh)
```

```
ans =
```

```
 -1.8650 + 1.8686i  
 -1.8650 - 1.8686i
```

```
>> syms s
```

```
>> solve(s^2+3.73*s+6.97==0);
```

```
>> double(ans)
```

```
ans =
```

```
 -1.8650 - 1.8686i  
 -1.8650 + 1.8686i
```

1.10. Произведем моделирование системы слежения:

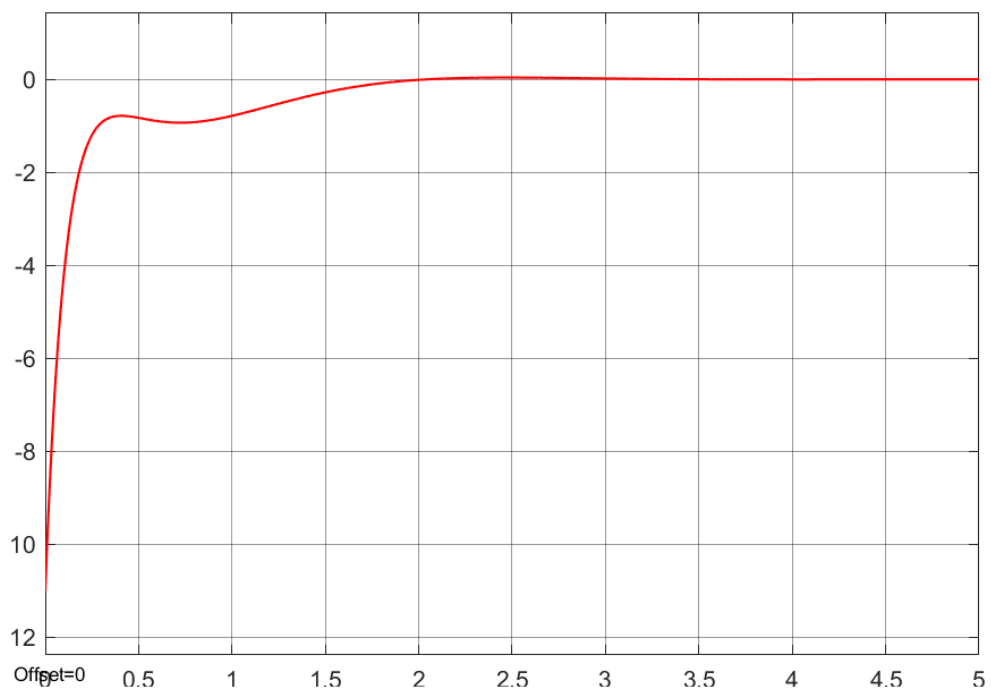


Рис. 3 График ошибки слежения

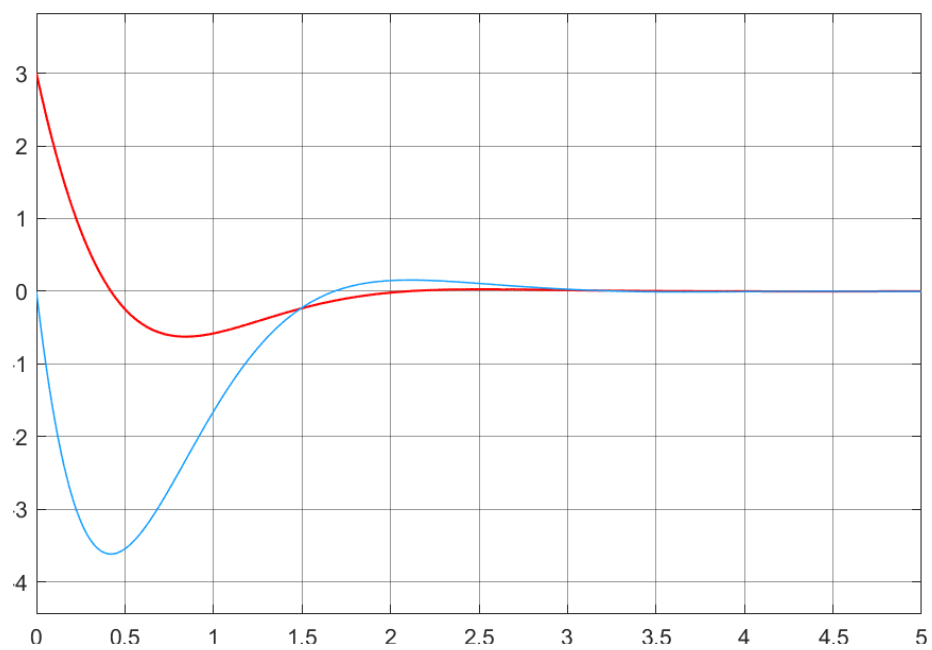


Рис. 4 График невязки

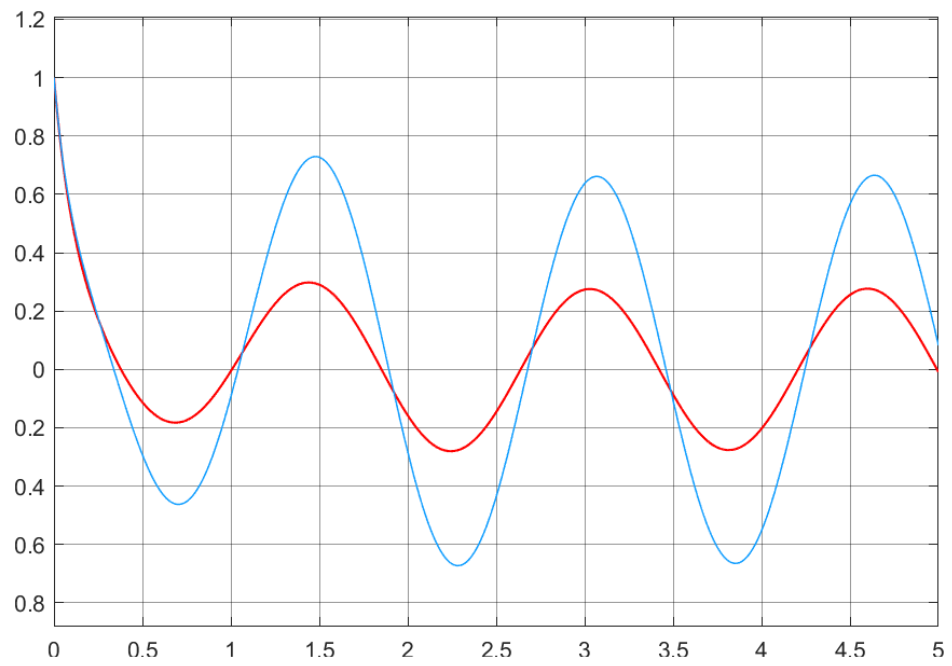


Рис. 5 График состояния объекта управления

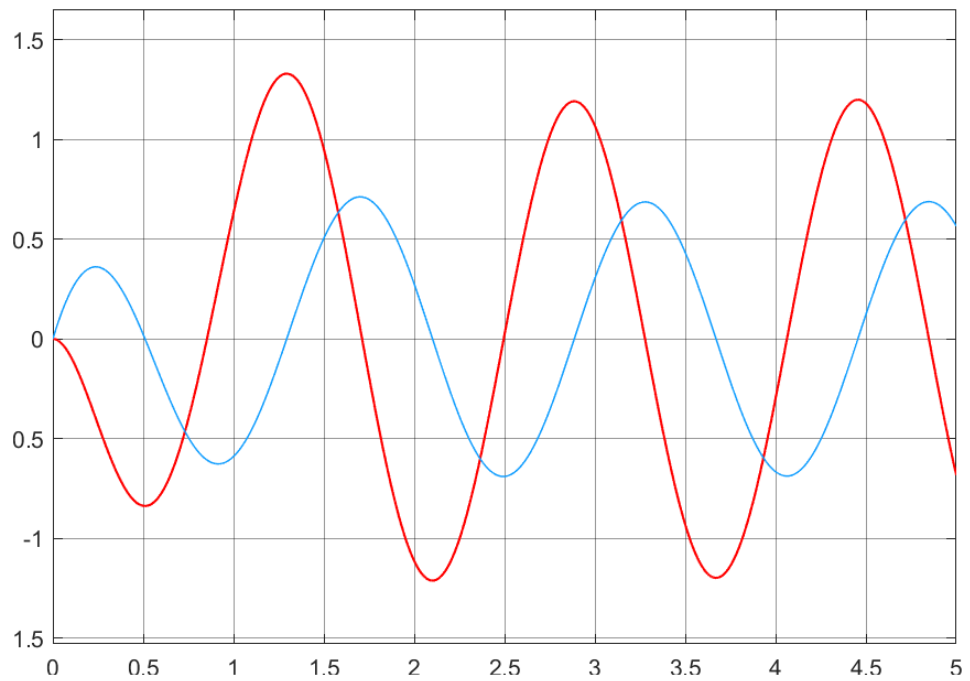


Рис. 6 График состояния наблюдателя

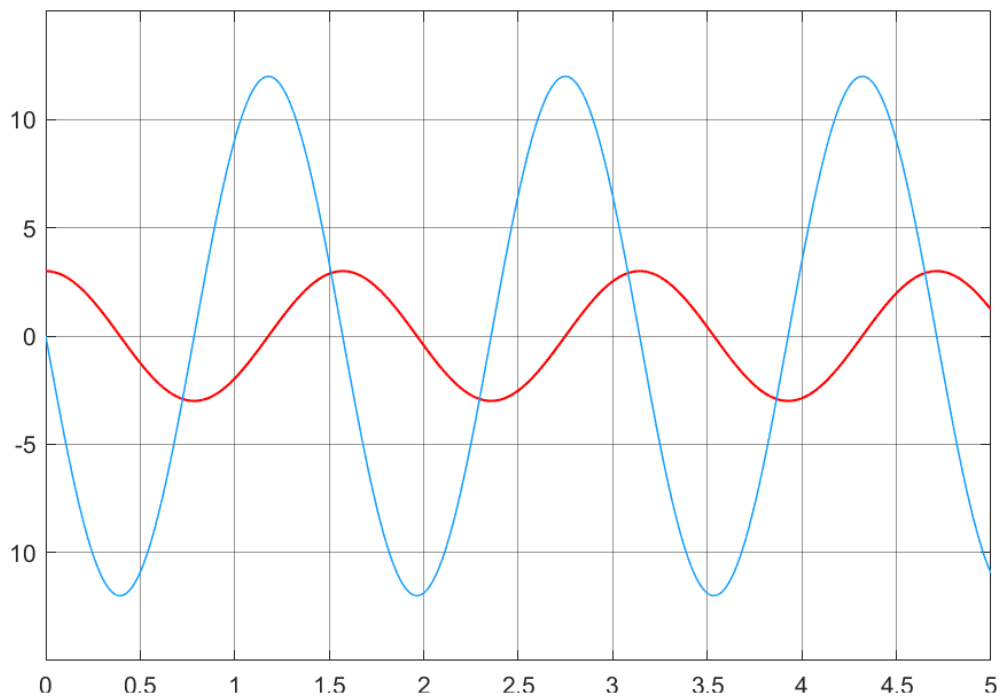


Рис. 7 График состояния генератора

2. Задача компенсации возмущения по входу (стабилизация в условиях внешних возмущений)

Объект управления:

$$\begin{cases} \dot{x}(t) = Ax(t) + Bu(t) + B_f f(t) \\ y(t) = Cx(t) + Du(t) \end{cases}$$

2.1. Проверка объекта управления на свойства полной управляемости и наблюдаемости.

Свойство полной управляемости было доказано в п. 1.1.

Докажем свойство полной наблюдаемости:

$$N_H = \begin{bmatrix} C \\ CA \end{bmatrix} = \begin{bmatrix} 6 & 0 \\ -6 & 12 \end{bmatrix}$$

$\text{rang}(N_H) = 2 \rightarrow$ система полностью наблюдаемая

2.2. Формирование модели возмущающего воздействия $f(t)$ на основе метода последовательного дифференцирования в виде:

$$\begin{cases} \dot{\xi}_f = \Gamma_f \xi_f \\ f = H_f \xi_f \end{cases}, \quad \xi_f(0) = \xi_{f0}$$

$$z_1 = f(t) = 5\sin(2t + 3)$$

$$\dot{z}_1 = z_2 = 10\cos(2t + 3)$$

$$\dot{z}_2 = -20\sin(2t + 3) = -4z_1$$

$$\Gamma_f = \begin{bmatrix} 0 & 1 \\ -4 & 0 \end{bmatrix}; H_f = [1 \quad 0]; \xi_f(0) = \begin{bmatrix} z_1(0) \\ z_2(0) \end{bmatrix} = \begin{bmatrix} 0.71 \\ -9.9 \end{bmatrix}$$

2.3. Конструирование эталонной модели по желаемым корням λ_1^*, λ_2^* и
нахождение матрицы M и матрицы линейных стационарных связей K

$$\begin{cases} \dot{\xi} = \Gamma \xi \\ v = H \xi \end{cases}$$

$$\lambda_1^* = -10; \lambda_2^* = -7$$

$$\Gamma = \begin{bmatrix} \lambda_1^* & 0 \\ 0 & \lambda_2^* \end{bmatrix} = \begin{bmatrix} -10 & 0 \\ 0 & -7 \end{bmatrix}; H = [1 \quad 1]$$

>> M

M =

```
-0.0833    -0.1250
-0.1250    -0.1250
```

>> K

K =

```
0      8
```

2.4. Расчет матриц M_f и L_f из совместного решения двух векторно-матричных уравнений Франкиса-Дэвисона:

$$\begin{cases} BL_f + B_f H_f = M_f \Gamma_f - (A - BK)M_f \\ (C - DK)M_f + DL_f = 0 \end{cases}$$

$M_f =$

```
-0.3502  -0.0054
-0.1137  -0.1616
```

$L_f =$

```
-3.0108  -1.3249
```

2.5. Моделирование системы компенсаций

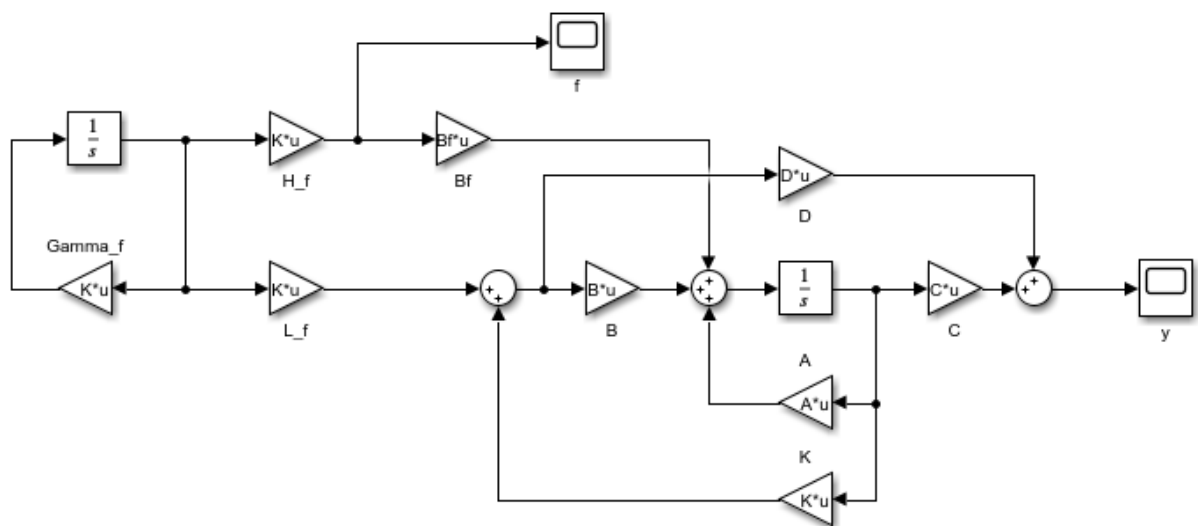


Рис. 8 Схема моделирования системы компенсации

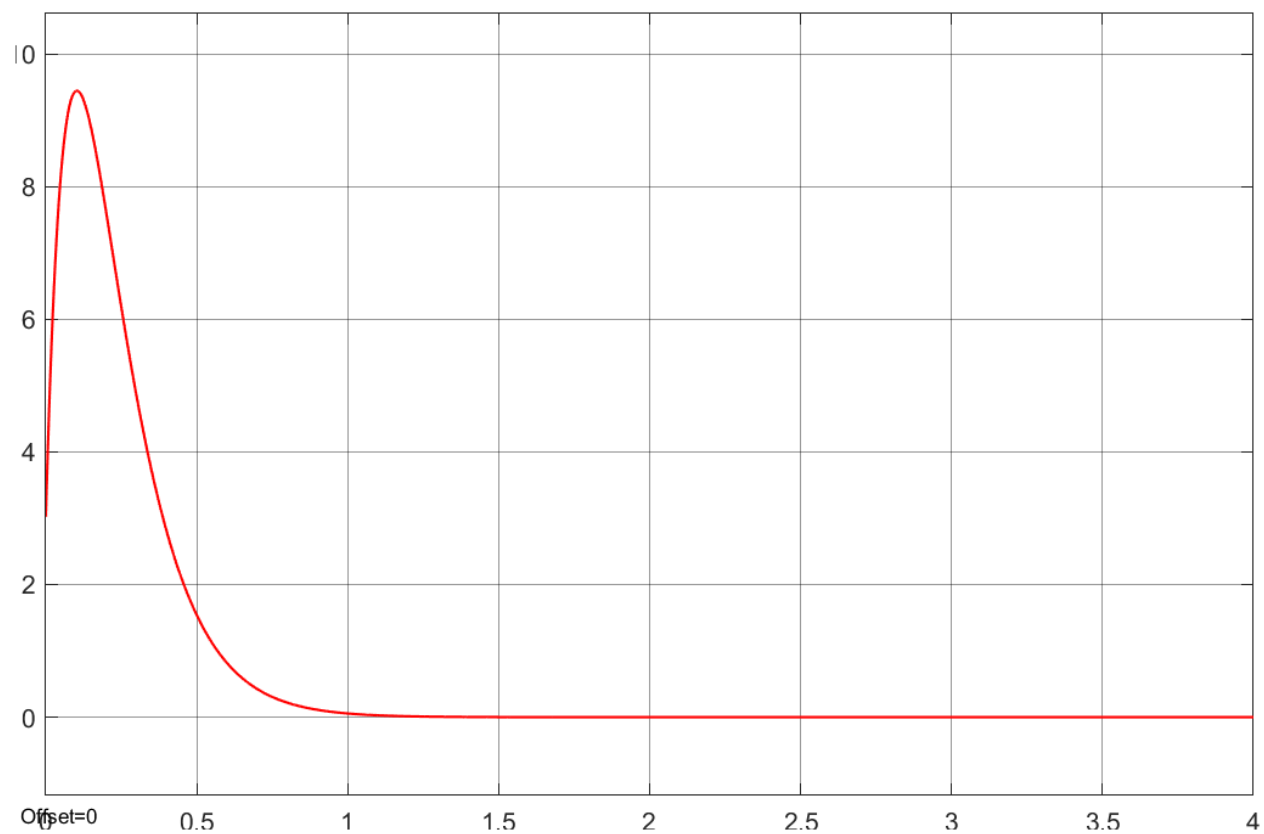


Рис. 9 График выходного сигнала y

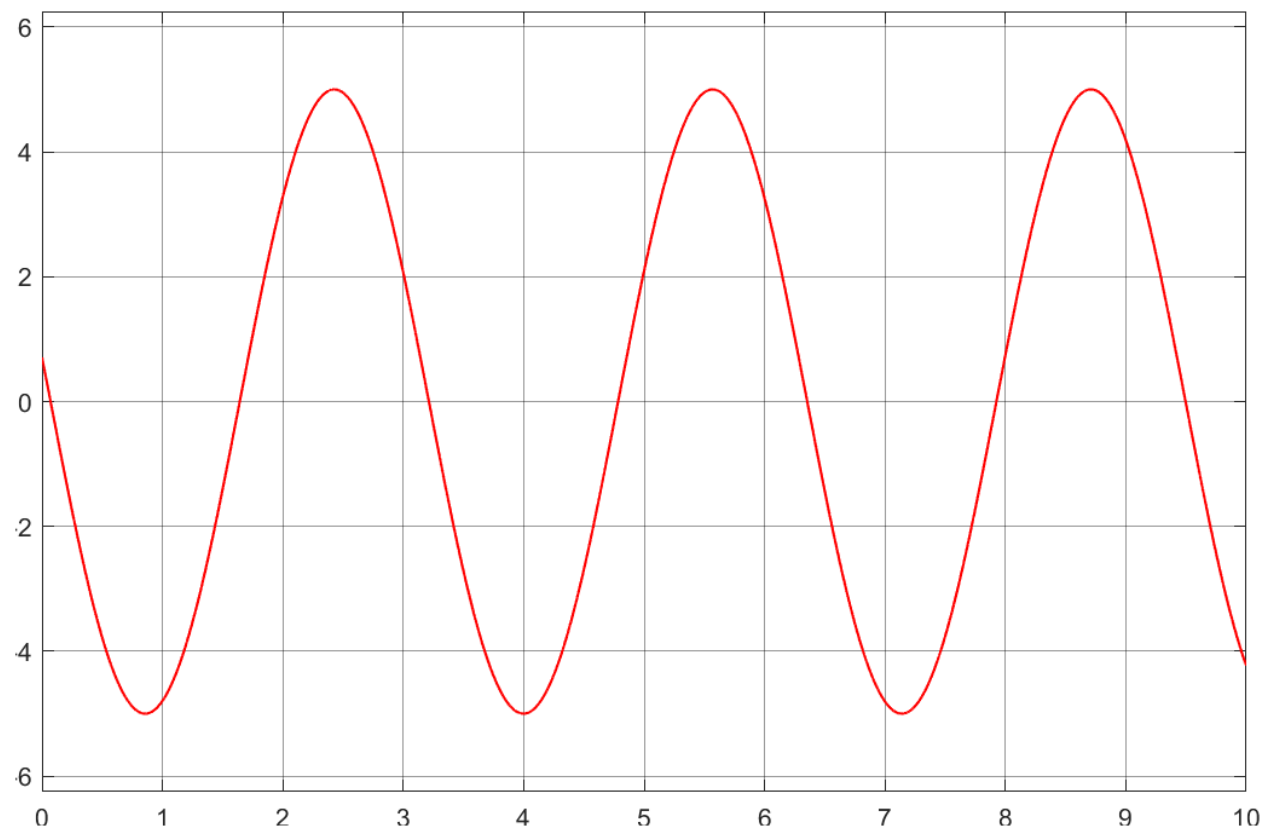


Рис. 10 График возмущающего воздействия $f(t)$

2.6. По требуемым показателям качества $t_{\text{пн}} = 1.1$ и $\sigma_H = 6\%$ назначаются коэффициенты требуемого характеристического полинома, предназначенного для синтеза наблюдателя. Сформируем матрицы эталонной модели Γ_H и H_H на основе коэффициентов характеристического полинома.

Так как по условию задания наблюдатель возмущения по входу редуцированный, то порядок полинома Баттерворта останется 2, и мы можем воспользоваться уже полученными результатами из пункта 1.7.

$$a(s) = s^2 + 3.73s + 6.97$$

$$\Gamma_H = \begin{bmatrix} 0 & -6.97 \\ 1 & -3.73 \end{bmatrix}, \quad H_H = [0 \quad 1]$$

$$N_H = \begin{bmatrix} 0 & 1 \\ 1 & -3.73 \end{bmatrix}$$

$\text{rang}(N_H) = 2 \rightarrow$ эталонная модель полностью наблюдаемая.

2.7. При синтезе редуцированного наблюдателя возмущения решается матричное уравнение Сильвестра вида:

$$M_H \Gamma_H - \Gamma_f^T M_H = H_f^T H_H$$

С последующим нахождением матрицы:

$$L^T = -H_H M_H^{-1}$$

```
>> M_h
```

```
M_h =
```

```
   -0.0461   -0.2314
    0.0579   -0.0461
```

```
>> L
```

```
L =
```

```
   3.7300
   2.9700
```

2.8. Далее вычислим матрицы F_H и \bar{C} из следующих соотношений:

$$\begin{cases} F_H = \Gamma_f - LH_f \\ \bar{C}B_f = I \end{cases}$$

```
>> F_h
```

```
F_h =
```

```
   -3.7300    1.0000  
   -6.9700         0
```

```
>> C_bar
```

```
C_bar =
```

```
    0.5000         0
```

2.9. Вычислим корни характеристического полинома матрицы F_H и сравним с корнями требуемого характеристического полинома:

```
>> eig(F_h)
```

```
ans =
```

```
   -1.8650 + 1.8686i  
   -1.8650 - 1.8686i
```

```
>> syms s
```

```
>> double(solve(s^2+3.73*s+6.97))
```

```
ans =
```

```
   -1.8650 - 1.8686i  
   -1.8650 + 1.8686i
```

Корни полиномов полностью совпадают.

2.10. Моделирование системы компенсации с наблюдателем возмущений:

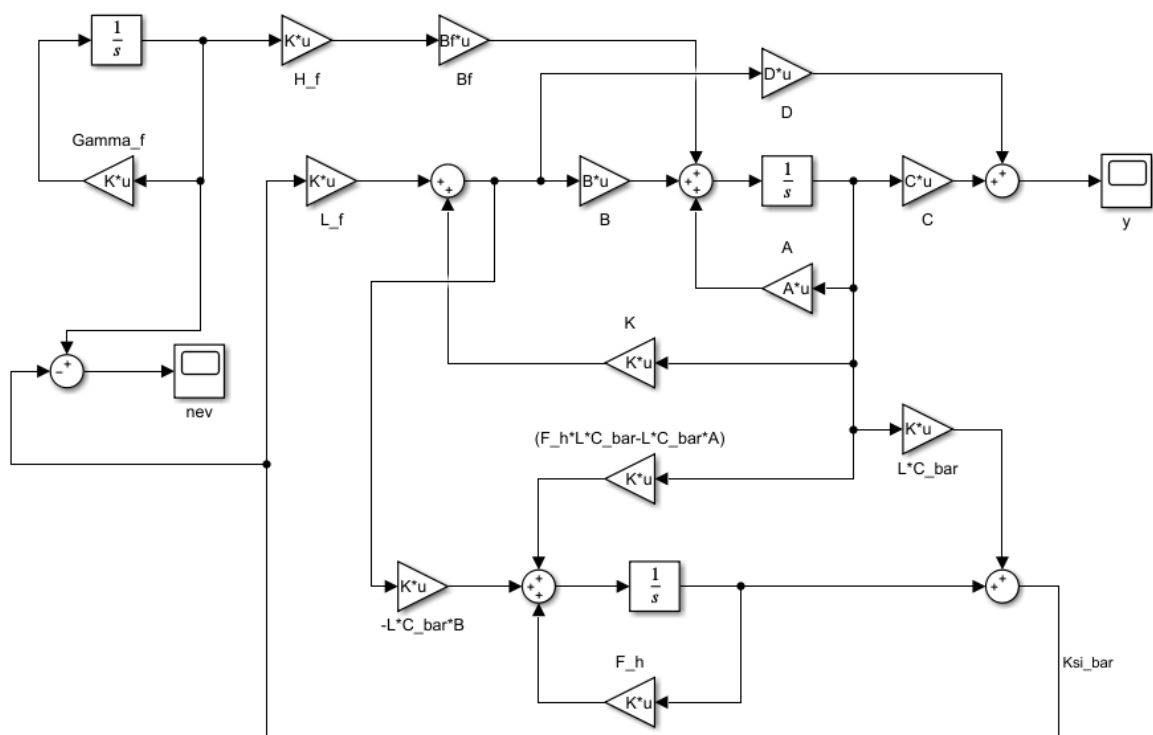


Рис. 11 Схема моделирования системы компенсаций с наблюдателем возмущений редуцированной размерности

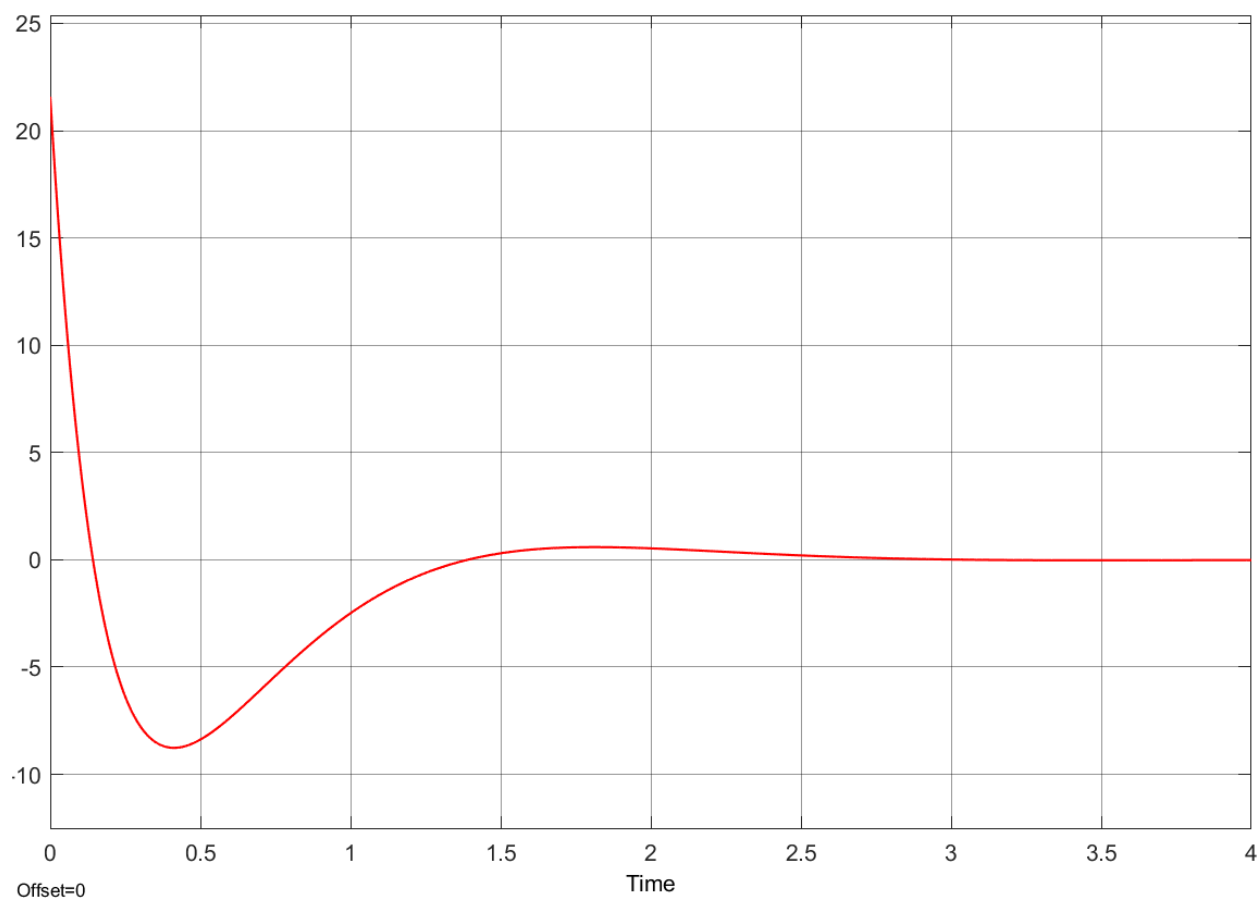


Рис. 12 График выходного сигнала

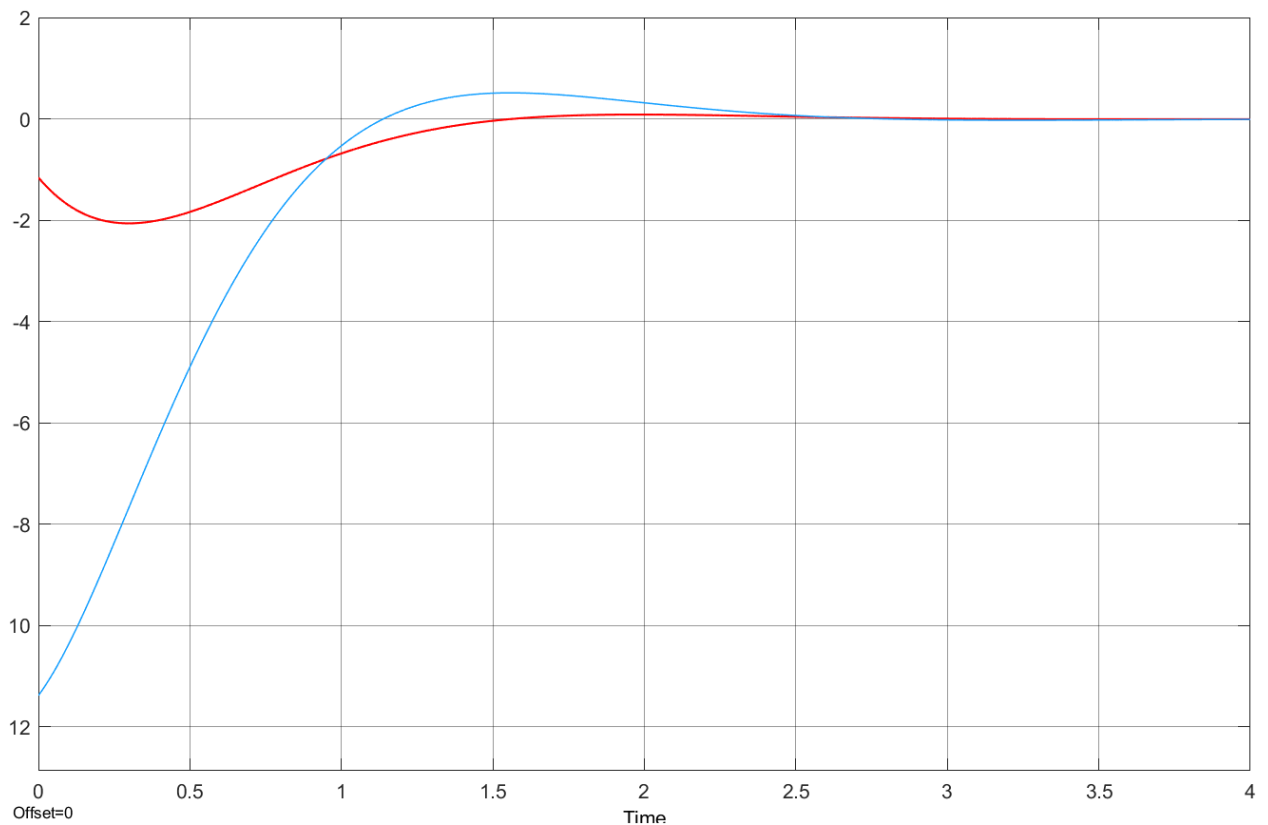


Рис. 13 График невязки ξ_f

3. Задача компенсации возмущений по выходу (стабилизация в условиях внешних возмущений)

Объект управления:

$$\begin{cases} \dot{x}(t) = Ax(t) + Bu(t) \\ y(t) = Cx(t) + Du(t) + f(t) \end{cases}$$

3.1. Проверка объекта управления на свойство полной управляемости и наблюдаемости

В пунктах 1.1. и 2.1. эти свойства уже были доказаны.

3.2. Формирование модели возмущающего воздействия на основе метода последовательного дифференцирования (см. п. 2.2.)

$$\begin{cases} \dot{\xi}_f = \Gamma_f \xi_f \\ f = H_f \xi_f \end{cases}, \quad \xi_f(0) = \xi_{f0}$$

$$\Gamma_f = \begin{bmatrix} 0 & 1 \\ -4 & 0 \end{bmatrix}; H_f = [1 \quad 0]; \xi_f(0) = \begin{bmatrix} z_1(0) \\ z_2(0) \end{bmatrix} = \begin{bmatrix} 0.71 \\ -9.9 \end{bmatrix}$$

3.3.Конструирование эталонной модели по желаемым корням λ_1^*, λ_2^* и
нахождение матрицы M и матрицы линейных стационарных связей K

$$\begin{cases} \dot{\xi} = \Gamma \xi \\ v = H \xi \end{cases}$$

$$\lambda_1^* = -10; \lambda_2^* = -7$$

$$\Gamma = \begin{bmatrix} \lambda_1^* & 0 \\ 0 & \lambda_2^* \end{bmatrix} = \begin{bmatrix} -10 & 0 \\ 0 & -7 \end{bmatrix}; H = [1 \quad 1]$$

>> M

M =

$$\begin{bmatrix} -0.0833 & -0.1250 \\ -0.1250 & -0.1250 \end{bmatrix}$$

>> K

K =

$$\begin{bmatrix} 0 & 8 \end{bmatrix}$$

3.4.Расчет матриц M_f и L_f из совместного решения двух векторно-матричных уравнений Франкиса-Дэвисона:

$$\begin{cases} BL_f = M_f \Gamma_f - (A - BK)M_f \\ (C - DK)M_f + DL_f + H_f = 0 \end{cases}$$

```
>> M_f
```

```
M_f =
```

```
-0.0921    -0.0117  
-0.2464    -0.0167
```

```
>> L_f
```

```
L_f =
```

```
-1.5235    -0.2040
```

3.5. Моделирование системы компенсации

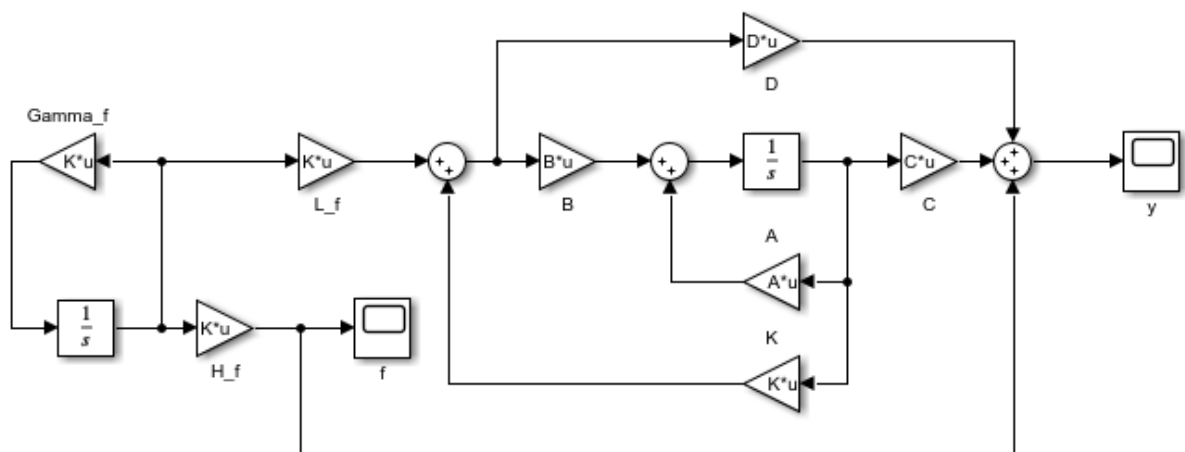


Рис. 14 Схема моделирования системы компенсации

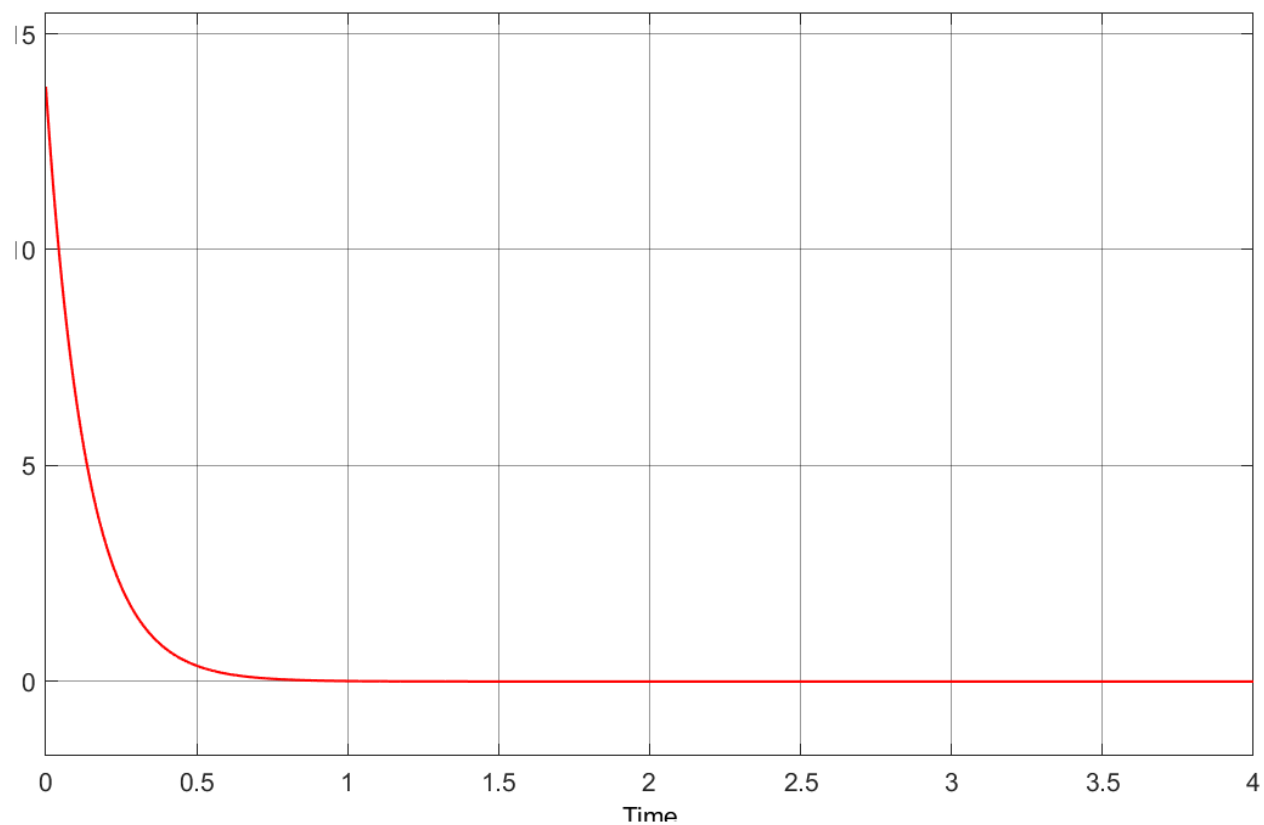


Рис. 15 График выходного сигнала

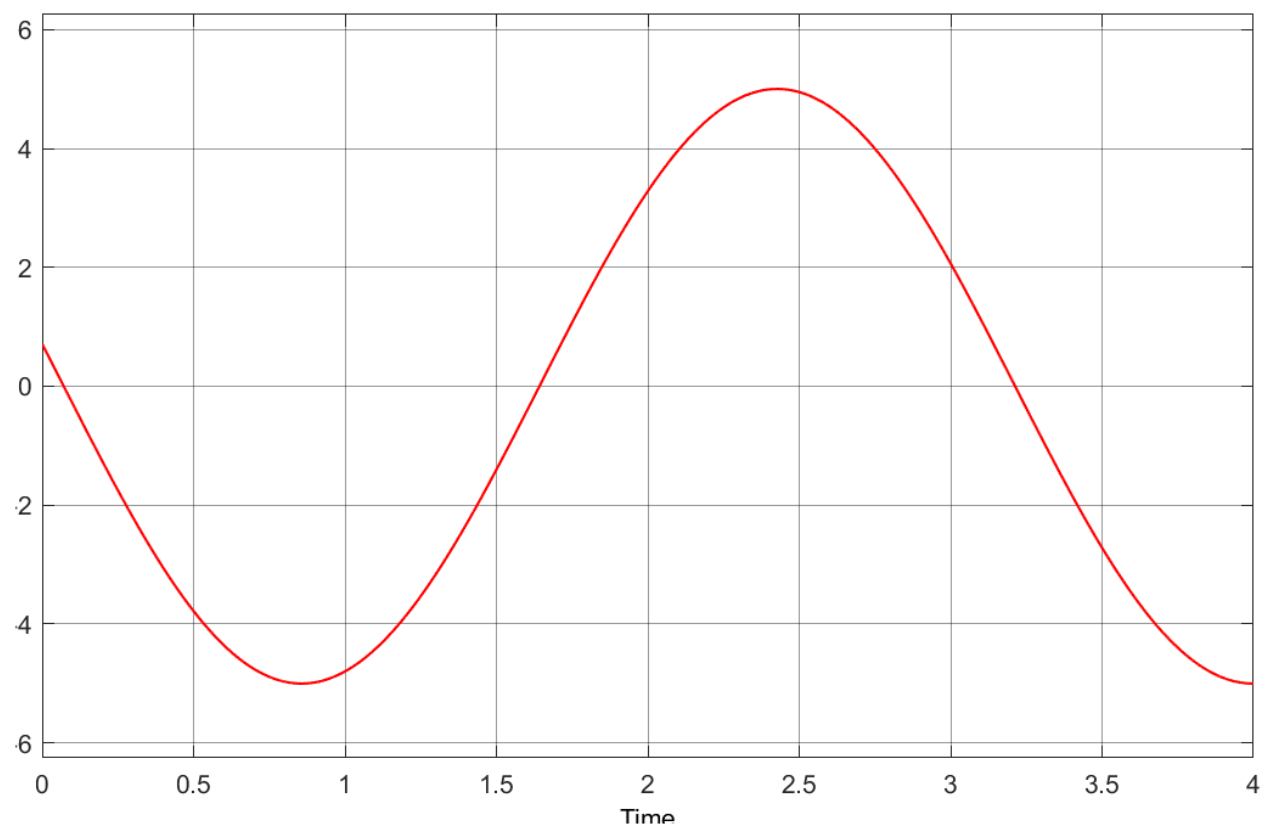


Рис. 16 График модели возмущающего воздействия

3.6. Для расширенного наблюдателя назначим матрицы эталонной модели

$\overline{\Gamma}_H$ и \overline{H}_H на основе требуемого характеристического полинома,

построенного по заданными показателям качества $t_{\text{пн}} = 1.1$ и $\sigma_H = 6\%$

Так как размерность векторов состояний объекта управления и эталонной модели равна 2, то воспользуемся полиномом Баттерворта 4 порядка:

$$a(s) = s^4 + 2.613\omega s^3 + 3.414\omega^2 s^2 + 2.613\omega^3 s + \omega^4, \text{ где } \omega = \frac{t_{\text{пн}}^*}{t_{\text{пн}}} = \frac{6.8}{1.1} =$$

6.18

$$a(s) = s^4 + 16.15s^3 + 130.39s^2 + 616.74s + 1458.66$$

$$\overline{\Gamma}_H = \begin{bmatrix} 0 & 0 & 0 & -1458.66 \\ 1 & 0 & 0 & -616.74 \\ 0 & 1 & 0 & -130.39 \\ 0 & 0 & 1 & -16.15 \end{bmatrix}, \quad \overline{H}_H = [0 \quad 0 \quad 0 \quad 1]$$

3.7. Решим матричное уравнение типа Сильвестра:

$$\overline{M}_H \overline{\Gamma}_H - \overline{A}^T \overline{M}_H = \overline{C}^T \overline{H}_H$$

с последующим нахождением матрицы:

$$\overline{L}^T = -\overline{H}_H \overline{M}_H^{-1}$$

```
>> M_hbar
```

```
M_hbar =
```

```

-0.0004    -0.0010     0.0018     0.0042
 0.0003    -0.0004    -0.0010     0.0018
-0.0139     0.0629    -0.3128     1.4449
 0.0054    -0.0278     0.1258    -0.6257
```

```
>> L_bar
```

```
L_bar =
```

```

-26.8446
-38.4419
  6.9991
 17.4730
```

3.8. Вычисление корней характеристического полинома матрицы $\overline{\Gamma}_H$ и требуемого характеристического полинома:

```
>> eig(Gamma_hbar)
```

```
ans =
```

```
-2.3641 + 5.7090i  
-2.3641 - 5.7090i  
-5.7109 + 2.3640i  
-5.7109 - 2.3640i
```

```
>> double(solve(s^4+16.15*s^3+130.39*s^2+616.74*s+1458.66))
```

```
ans =
```

```
-2.3641 - 5.7090i  
-2.3641 + 5.7090i  
-5.7109 - 2.3640i  
-5.7109 + 2.3640i
```

3.9. Моделирование системы компенсации с расширенным наблюдателем возмущений по выходу

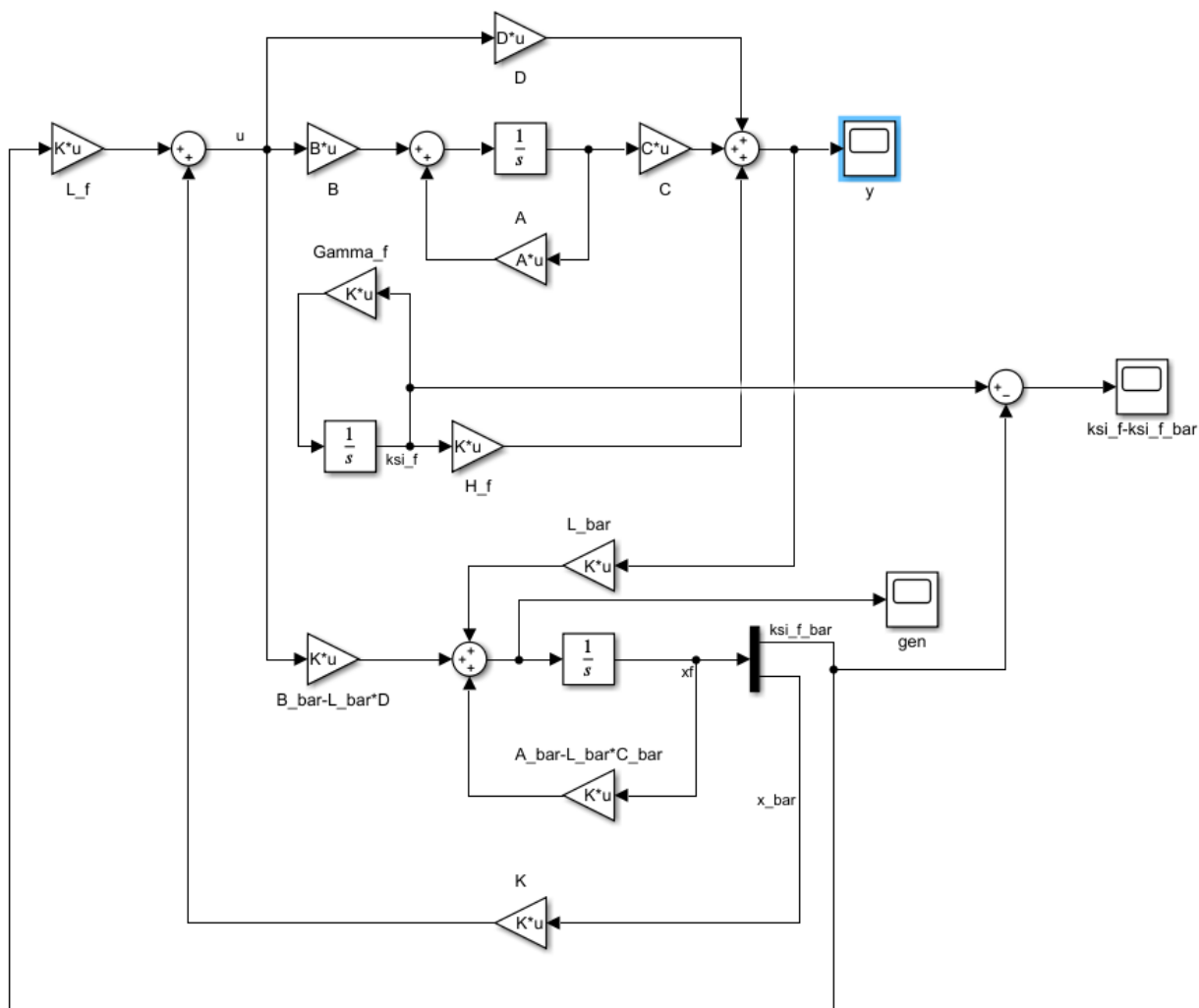


Рис. 17 Схема моделирования системы компенсации с расширенным наблюдателем

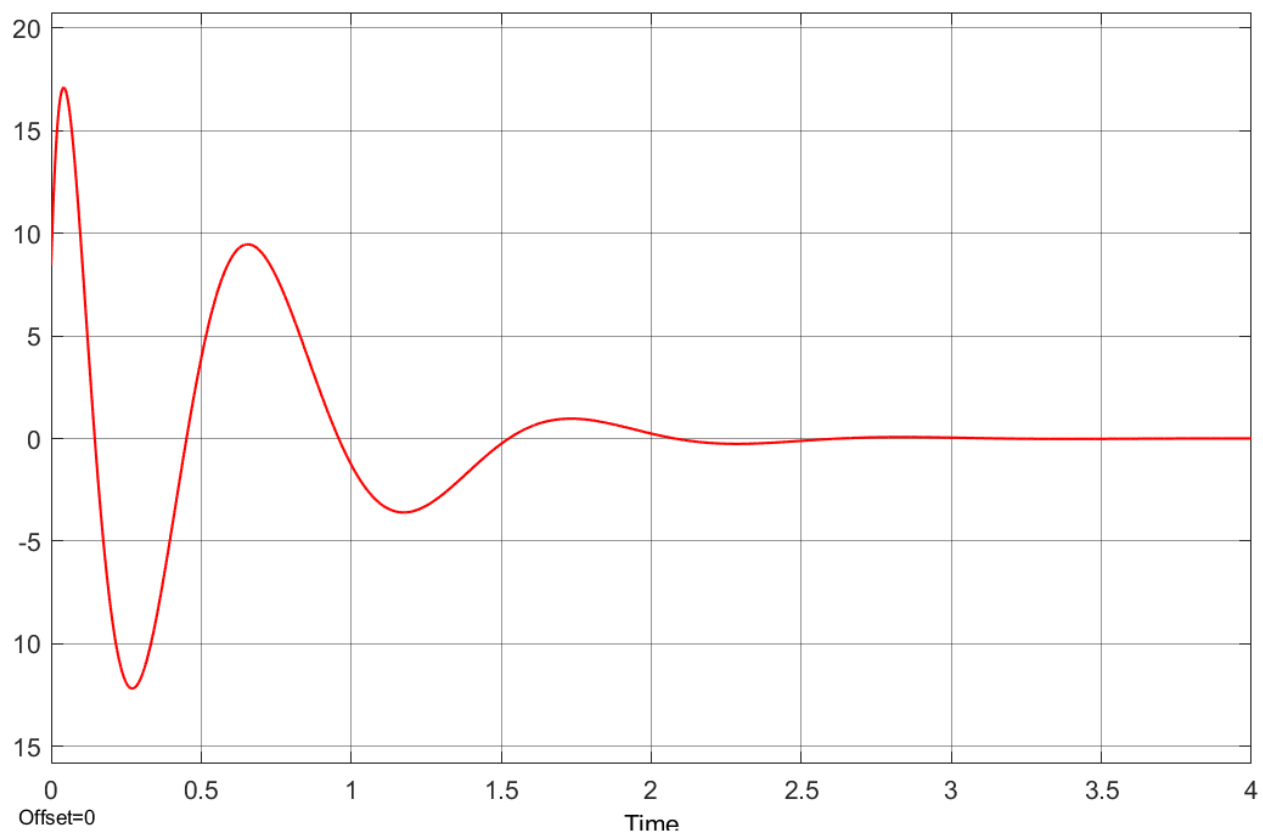


Рис. 18 График выходного сигнала

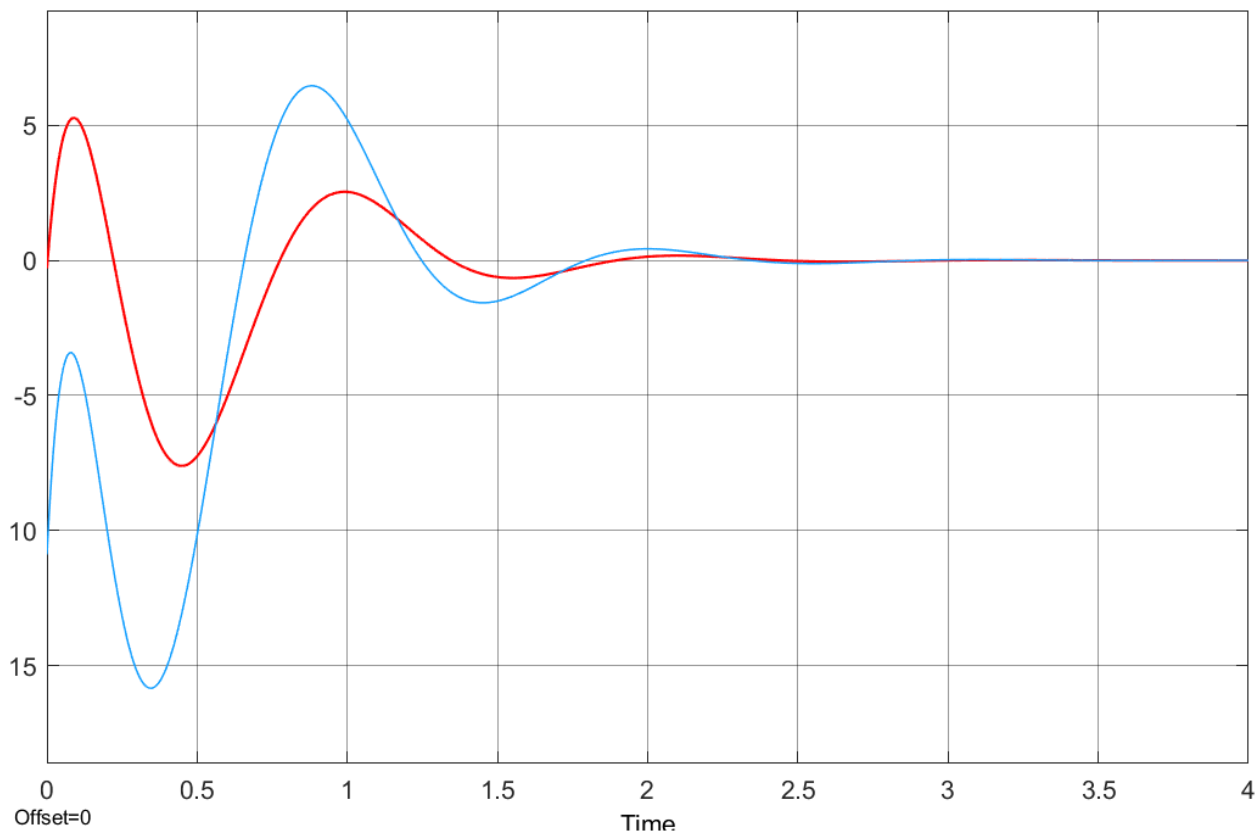


Рис. 19 График вектора невязки

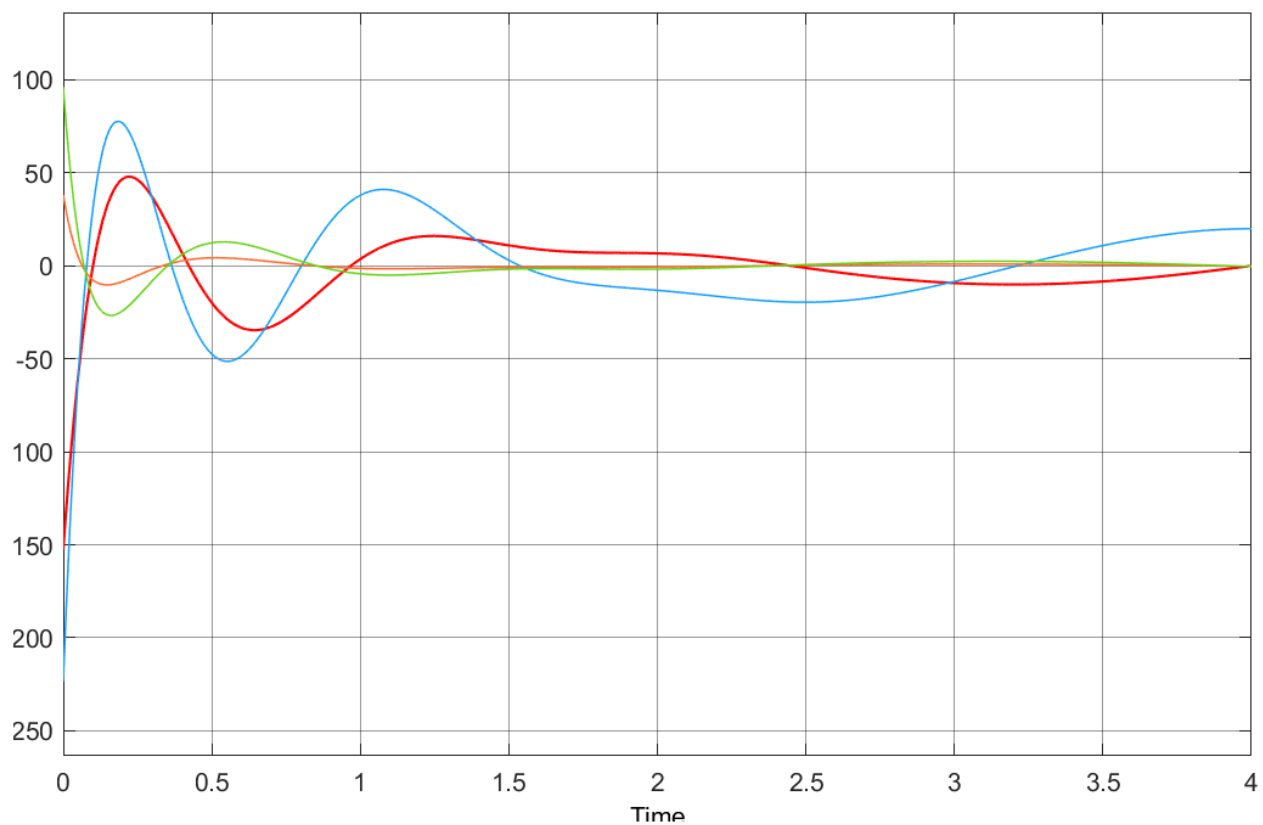


Рис. 20 График вектора состояний наблюдателя

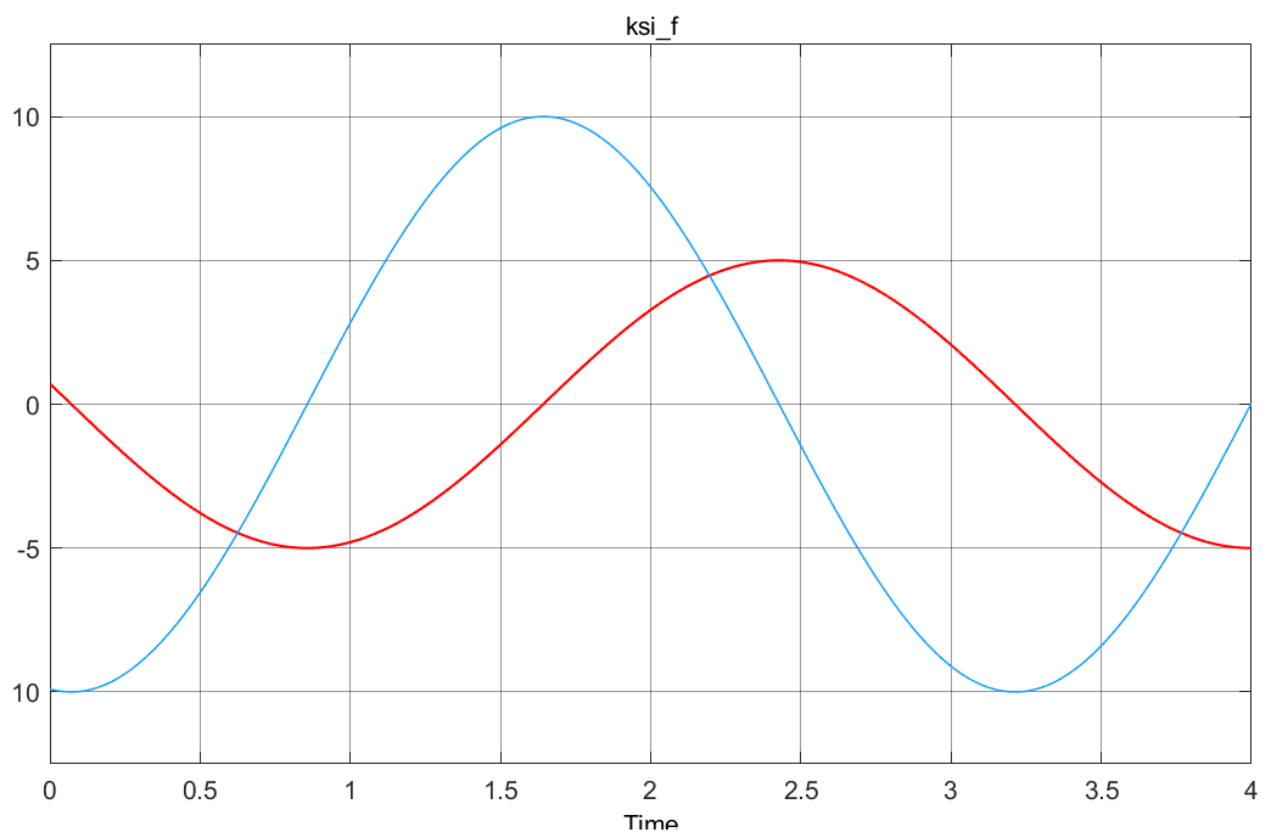


Рис. 21 График вектора состояний генератора

Вывод:

В ходе выполнения данной лабораторной работы нами был изучен метод управления линейными объектами с помощью метода внутренней модели на базе уравнений Франкиса-Дэвисона. Были рассмотрены следующие задачи управления: слежения и компенсации по входу и выходу. Из полученных графиков моделирования можно сделать вывод об успешном достижении поставленных целей для каждой задачи.